

Ultrazvukové zobrazovací systémy v lékařství

J.Hozman, E.Dove, J.Kybík

2008–2013

Část I

Úvod do lékařského ultrazvuku

Úvod

Akustika UZ

Vlnění

Vlnová rovnice

Odráz a lom

Rozhraní

Útlum

Lékařský UZ

Přístroje

Kardiologický UZ

Intravaskulární UZ

Vady

Generování/detekce

Generování

Směrování

Fokusace

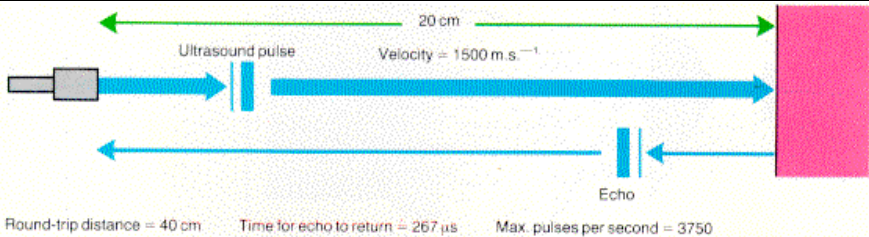
Řízení sonografu

Základy lékařského ultrazvuku

- Akustické vlnění o frekvenci $2 \sim 50$ MHz
- Měříme čas a intenzitu odrazu
- Nepoškozuje organismus
- Neprochází vzduchem a pevnými tkáněmi



Ultrasound Principle



Úvod

Akustika UZ

Vlnění

Vlnová rovnice

Odraz a lom

Rozhraní

Útlum

Lékařský UZ

Přístroje

Kardiologický UZ

Intravaskulární UZ

Vady

Generování/detekce

Generování

Směrování

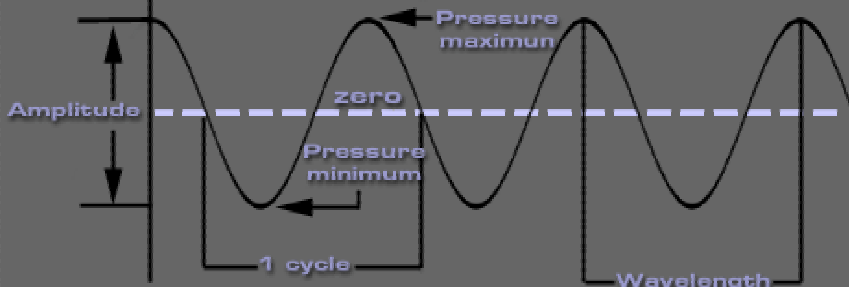
Fokusace

Řízení sonografu



Propagation →

Rarefaction Compression



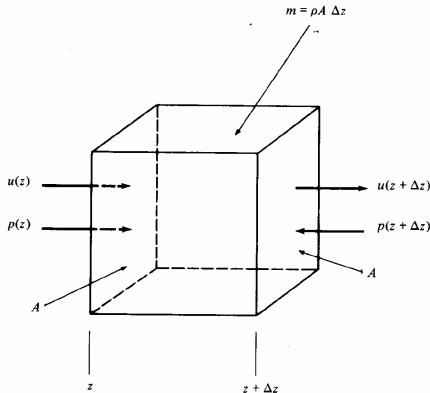
Sinusoidal pressure source

Fyzikální základy – rozsahy veličin

Měřená veličina	Symbol	Jednotka (rozměr)	Rozsah obvyklých hodnot měřené veličiny v klinické praxi
Rychlosť	c	$\text{m} \cdot \text{s}^{-1}$	$1540 \text{ m} \cdot \text{s}^{-1}$ (měkká tkáň)
Vlnová délka	λ	mm	0,6 až 0,15 mm (měkká tkáň)
Kmitočet	f	hertz	2,5 až 10 MHz
Modul pružnosti	E	pascal	25 GPa (kost)
Akustická impedance	Z	$\text{kg} \cdot \text{m}^{-2} \cdot \text{s}^{-1}$	$1,63 \cdot 10^6 \text{ kg} \cdot \text{m}^{-2} \cdot \text{s}^{-1}$
Hustota	ρ	$\text{kg} \cdot \text{m}^{-3}$	1000 $\text{kg} \cdot \text{m}^{-3}$ (voda)
Intenzita	I	$\text{W} \cdot \text{cm}^{-2}$	typicky 1 až 10 $\text{mW} \cdot \text{cm}^{-2}$
Tlak	p	pascal nebo bar	0,6 baru nebo 0,06 MPa



Elementární objem



Rychlosť u , tlak p , hustota ϱ , plocha A , hmotnosť m .

Newtonův zákon

Pohyb ve směru osy z :

$$F = ma = m \frac{du}{dt} = m \left(\frac{\partial u}{\partial t} + \frac{\partial u}{\partial z} \frac{\partial z}{\partial t} \right) \approx m \frac{\partial u}{\partial t}$$

síla $F = pA$:

$$(p(z) - p(z + \Delta z)) A = m \frac{\partial u}{\partial t}$$

pro $\Delta z \ll z$:

$$-\frac{\partial p}{\partial z} \Delta z A = m \frac{\partial u}{\partial t}$$

jelikož $m = \rho A \Delta z$

$$-\frac{\partial p}{\partial z} = \rho \frac{\partial u}{\partial t}$$

Zákon zachování hmoty

Rozdíl vstupující a vystupující hmoty versus změna hustoty:

$$A \left(u(z + \Delta z) \rho(z + \Delta z) - u(z) \rho(z) \right) = -A \Delta z \frac{\partial \rho}{\partial t}$$

pro $\Delta z \ll z$:

$$\frac{\partial \rho u}{\partial z} = -\frac{\partial \rho}{\partial t}$$

hustota $\rho = \rho_0 + \rho_1$, $\rho_0 = \text{const}$, $\rho_1 \ll \rho_0$:

$$\rho_0 \frac{\partial u}{\partial z} + \frac{\partial \rho_1}{\partial t} = 0$$

Stlačitelnost $\frac{\rho_1}{\rho_0} = Kp$, $K = 1/E$:

$$\frac{\partial u}{\partial z} + K \frac{\partial p}{\partial t} = 0$$

1D vlnová rovnice

$$\rho \frac{\partial u}{\partial t} + \frac{\partial p}{\partial z} = 0 \quad \text{derivujeme dle } z$$

$$\frac{\partial u}{\partial z} + K \frac{\partial p}{\partial t} = 0 \quad \text{derivujeme dle } t$$

$$\rho \frac{\partial^2 u}{\partial t \partial z} + \frac{\partial^2 p}{\partial z^2} = 0$$

$$\frac{\partial^2 u}{\partial z \partial t} + K \frac{\partial^2 p}{\partial t^2} = 0$$

odečtením dostaneme vlnovou rovnici

$$\frac{\partial^2 p}{\partial z^2} - K\rho \frac{\partial^2 p}{\partial t^2} = 0$$

obdobně

$$\frac{\partial^2 u}{\partial z^2} - K\rho \frac{\partial^2 u}{\partial t^2} = 0$$

Řešení vlnové rovnice

Zkusme harmonickou vlnu:

$$p = p_+ \cos(\omega t - kz)$$

kde k je vlnové číslo [rad/m]. Je řešením pokud:

$$k^2 = \rho_0 K \omega^2$$

Rychlosť šíření:

$$c = \omega/k = \lambda f$$



Speed of Sound in Tissue

- The speed of sound in a human tissue depends on the average density ρ ($\text{kg}\cdot\text{m}^{-3}$) and the compressibility K ($\text{m}^2\cdot\text{N}^{-1}$) of the tissue.

$$c = \frac{1}{\sqrt{\rho_0 K}}$$



Tissue Characteristics

- Engineers and scientists working in ultrasound have found that a convenient way of expressing relevant tissue properties is to use characteristic (or acoustic) impedance $Z(\text{kg}\cdot\text{m}^{-2}\cdot\text{s}^{-1})$

$$Z = \rho_0 c$$

Akustická impedance

$$Z_a = \frac{p \text{ (tlak)}}{I \text{ (tok)}} [\text{Pa} \cdot \text{s/m}^3]$$

také "akustický Ohm".

Pro nekonečnou trubku:

$$Z_a = \frac{\rho_0 c}{S}$$

kde $Z = \rho_0 c$ je specifická akustická impedance.

Jednotky [kg/s · m²] = 1 Rayl.

Fyzikální základy - veličiny

Materiál	Rychlosť zvuku c m.s ⁻¹	Hustota ρ kg.m ⁻³	Akustická impedance Z kg.m ⁻² .s ⁻¹ (x 10 ⁶)	Koeficient absorpcie α dB.cm ⁻¹ .MHz ⁻¹
Vzduch	330	1,3	0,00043	
Tuk	1470	970	1,42	0,6
Ricínový olej	1500	933	1,40	
Voda	1492	1000	1,48	
Měkká tkáň	1500	<1000	~1,45	1,0
Mozek	1530	1020	1,56	0,85
Krev	1570	1020	1,60	0,18
Ledviny	1561	1030	1,61	
Játra	1549	1060	1,64	0,9
Sval	1568	1040	1,63	
Sval (podélná vlákna)			1,2	1,65
Sval (příčná vlákna)			3,3	1,65
Oční čočky	1620	1130	1,83	2,0
Kost	4080	1700	6,12	6,1
Plast			3,2	2,0

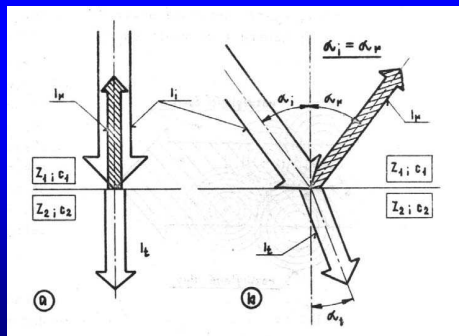
Specular Reflection



- The first, specular echoes, originate from relatively large, strongly reflective, regularly shaped objects with smooth surfaces. These reflections are angle dependent, and are described by reflectivity equation . This type of reflection is called specular reflection.

Primární parametrické pole a modulace ultrazvukového signálu

- útlum UZV energie,
- odraz a lom UZV vln,



Reflectivity



$$R = \frac{p_r}{p_i} = \frac{\frac{Z_2}{cos\theta_t} - \frac{Z_1}{cos\theta_i}}{\frac{Z_2}{cos\theta_t} + \frac{Z_1}{cos\theta_i}}$$

At normal incidence, $\theta_i = \theta_t = 0$ and

$$R = \frac{Z_2 - Z_1}{Z_2 + Z_1}$$

Reflectivity for Various Tissues



<i>Materials at Interface</i>	<i>Reflectivity</i>
Brain-skull bone	0.66
Fat-muscle	0.10
Fat-kidney	0.08
Muscle-blood	0.03
Soft tissue-water	0.05
Soft tissue-air	0.9995

Scattered Reflection



- The second type of echoes are scattered that originate from small, weakly reflective, irregularly shaped objects, and are less angle-dependent and less intense. The mathematical treatment of non-specular reflection (sometimes called “speckle”) involves the Rayleigh probability density function. This type of reflection, however, sometimes dominates medical images, as you will see in the laboratory demonstrations.



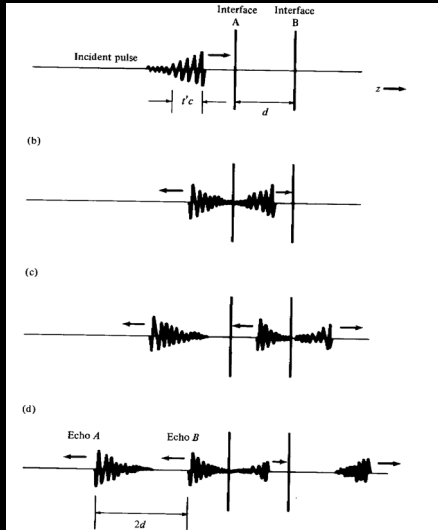
SPECULAR ECHOES



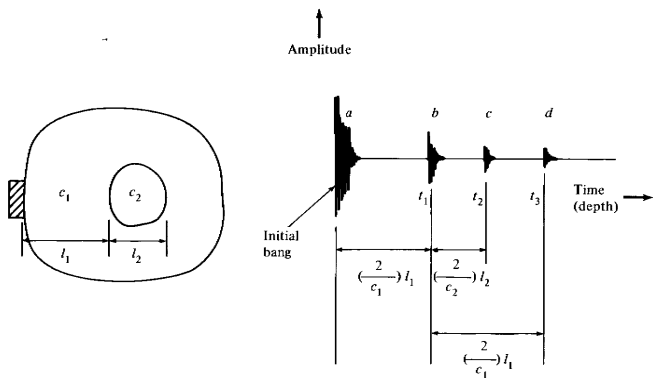
SCATTERED ECHOES



Echoes from Two Interfaces



Echoes from Internal Organ



Attenuation



- Most engineers and scientists working in the ultrasound characterize attenuation as the “half-value layer,” or the “half-power distance.” These terms refer to the distance that ultrasound will travel in a particular tissue before its amplitude or energy is attenuated to half its original value.

Attenuation



- Divergence of the wavefront
- Elastic reflection of wave energy
- Elastic scattering of wave energy
- Absorption of wave energy

Ultrasound Attenuation



<i>Material</i>	<i>Half-power distance (cm)</i>
Water	380
Blood	15
Soft tissue except muscle	5 to 1 1 to 0.6
Bone	0.7 to 0.2
Air	0.08
Lung	0.05

Attenuation



- As a general rule, the attenuation coefficient is doubled when the frequency is doubled.

$$I_{avg} = I_0 \exp\{-2\alpha z\}$$

Fyzikální základy - veličiny

Materiál	Rychlosť zvuku c m.s^{-1}	Hustota ρ kg.m^{-3}	Akustická impedance Z $\text{kg.m}^{-2}.\text{s}^{-1} (\times 10^6)$	Koeficient absorpcie α $\text{dB.cm}^{-1}.\text{MHz}^{-1}$
Vzduch	330	1,3	0,00043	
Tuk	1470	970	1,42	0,6
Ricínový olej	1500	933	1,40	
Voda	1492	1000	1,48	
Měkká tkáň	1500	<1000	~1,45	1,0
Mozek	1530	1020	1,56	0,85
Krev	1570	1020	1,60	0,18
Ledviny	1561	1030	1,61	
Játra	1549	1060	1,64	0,9
Sval	1568	1040	1,63	
Sval (podélná vlákna)			1,2	1,65
Sval (příčná vlákna)			3,3	1,65
Oční čočky	1620	1130	1,83	2,0
Kost	4080	1700	6,12	6,1
Plast			3,2	2,0

Úvod

Akustika UZ

Vlnění

Vlnová rovnice

Odrاز a lom

Rozhraní

Útlum

Lékařský UZ

Přístroje

Kardiologický UZ

Intravaskulární UZ

Vady

Generování/detekce

Generování

Směrování

Fokusace

Řízení sonografu

Lékařské UZ přístroje



Lékařské UZ přístroje



Lékařské UZ přístroje

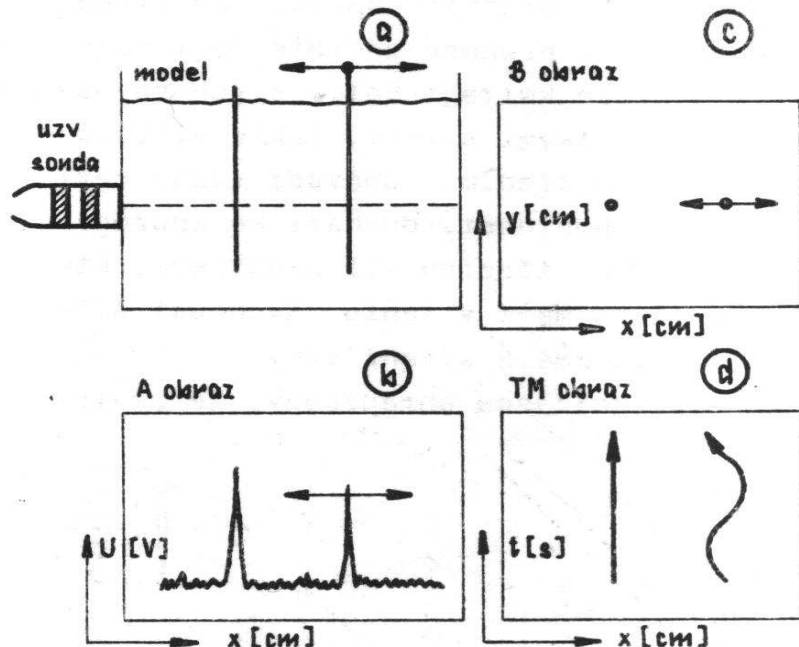


Lékařské aplikace UZ

- Kardiologie
- Gynekologie: prs, těhotenství
- Vnitřní orgány: játra, ledviny, štítná žláza
- Intravaskulární ultrazvuk
- Rázová vlna, ledvinové kameny

Systémy zobrazení

- A osciloskopický, intenzita+čas
- B **2D v rovině sondy**
- C 2D kolmý na sondu
- TM 1D+čas
- Q Doppler (rychlosť)



Úvod

Akustika UZ

Vlnění

Vlnová rovnice

Odrاز a lom

Rozhraní

Útlum

Lékařský UZ

Přístroje

Kardiologický UZ

Intravaskulární UZ

Vady

Generování/detekce

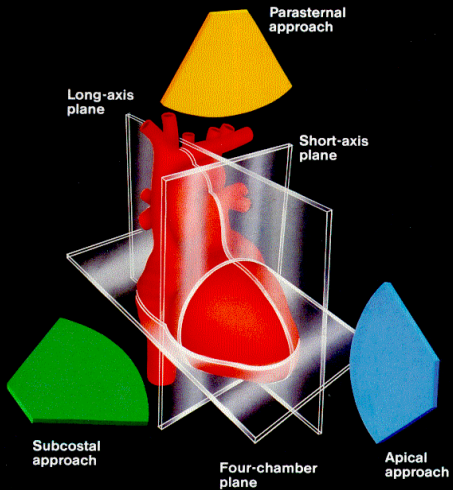
Generování

Směrování

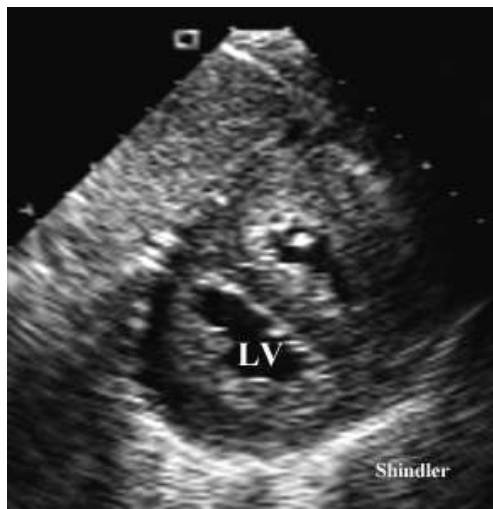
Fokusace

Řízení sonografu

Conventional Cardiac 2D Ultrasound



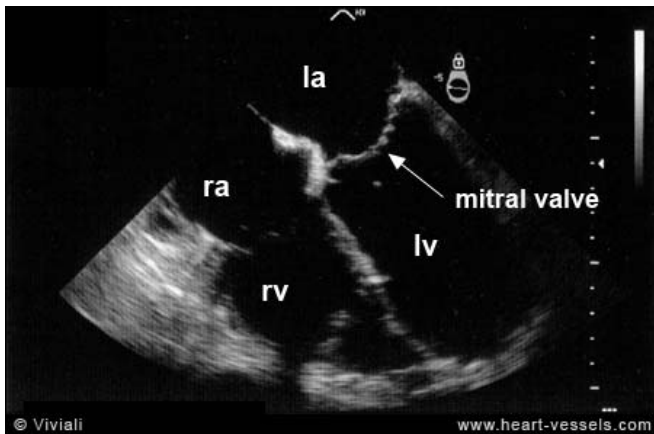
UZ srdce



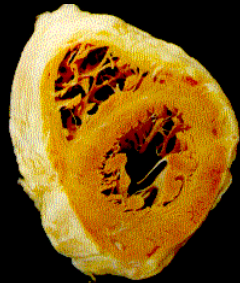
UZ srdce



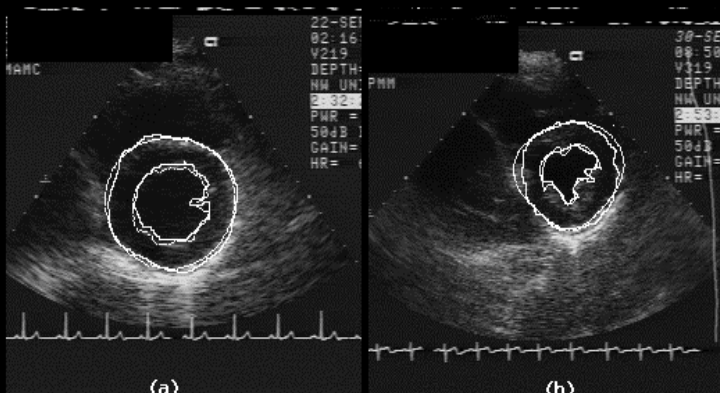
UZ srdce



B-mode Image of Heart

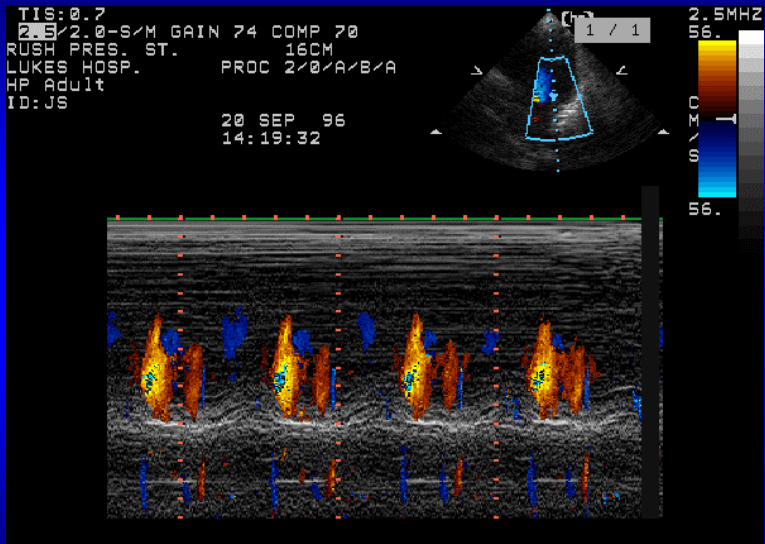


Traditional Ultrasound Images



End-diastole

End-systole



Úvod

Akustika UZ

Vlnění

Vlnová rovnice

Odrاز a lom

Rozhraní

Útlum

Lékařský UZ

Přístroje

Kardiologický UZ

Intravaskulární UZ

Vady

Generování/detekce

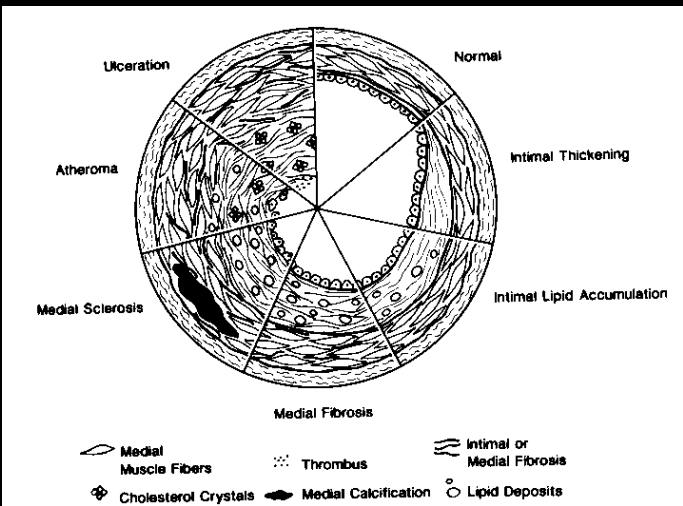
Generování

Směrování

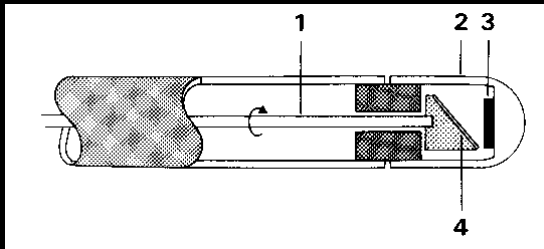
Fokusace

Řízení sonografu

Progression of Vascular Disease



IVUS Catheter

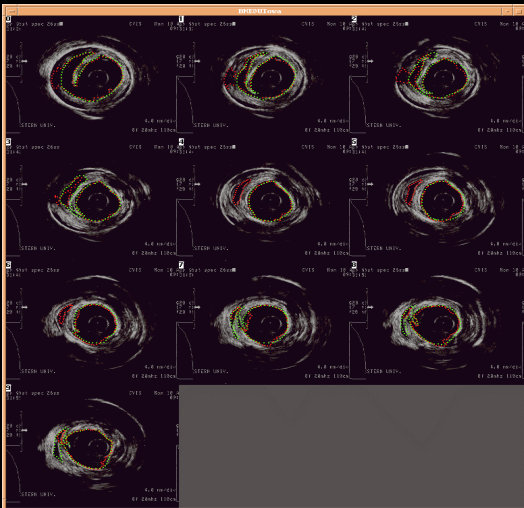


- 1 - Rotating shaft
- 2 - Acoustic window
- 3 - Ultrasound crystal
- 4 - Rotating beveled acoustic mirror

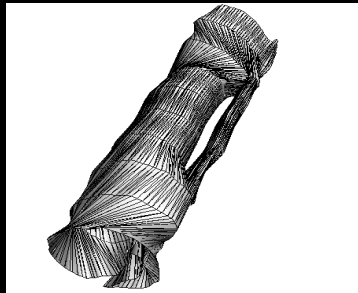
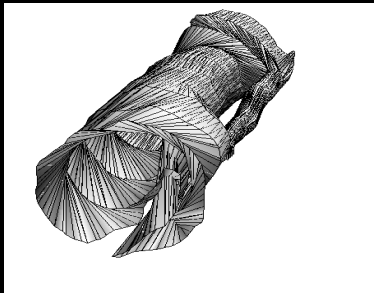
Slightly Diseased Artery in Cross-section



An array of Images



3D IVUS



Další příklady UZ obrázků



Další příklady UZ obrázků



Další příklady UZ obrázků



Úvod

Akustika UZ

Vlnění

Vlnová rovnice

Odrاز a lom

Rozhraní

Útlum

Lékařský UZ

Přístroje

Kardiologický UZ

Intravaskulární UZ

Vady

Generování/detekce

Generování

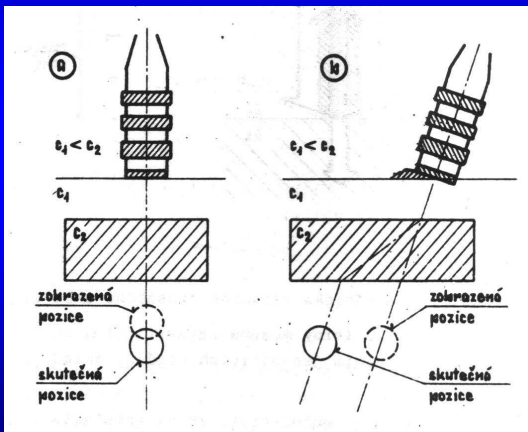
Směrování

Fokusace

Řízení sonografu

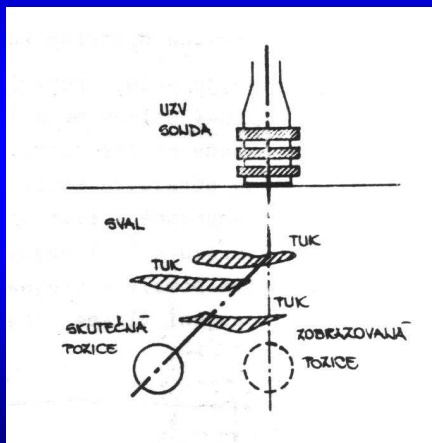
Geometrická distorze UZV zobrazení

- změnou rychlosti šíření UZV vlny,



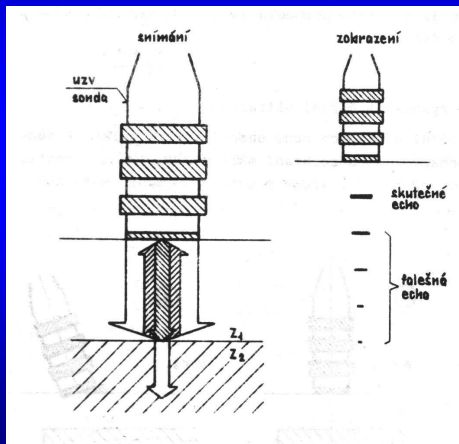
Geometrická distorze UZV zobrazení

- skladbou tkání,



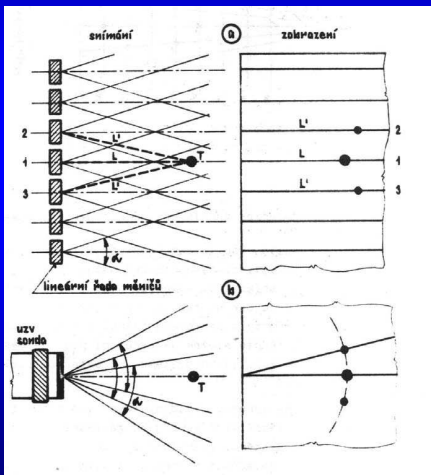
Geometrická distorze UZV zobrazení

- násobnou reflexí,



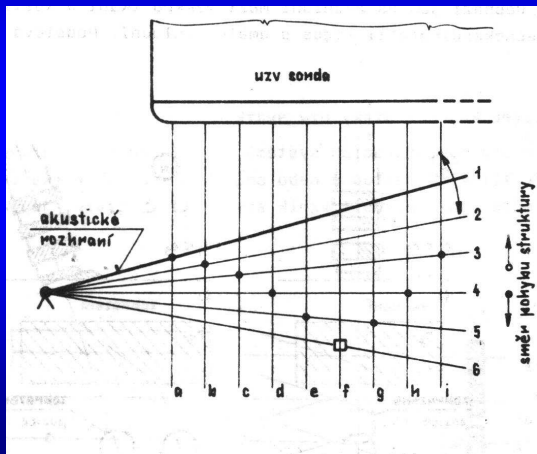
Geometrická distorze UZV zobrazení

- vlivem konečné šířky UZV svazku,



Geometrická distorze UZV zobrazení

- pohybem tkáňových struktur,



Úvod

Akustika UZ

Vlnění

Vlnová rovnice

Odrاز a lom

Rozhraní

Útlum

Lékařský UZ

Přístroje

Kardiologický UZ

Intravaskulární UZ

Vady

Generování/detekce

Generování

Směrování

Fokusace

Řízení sonografu

Generace a detekce UZV signálu

- požadavky na konstrukci systému,
 - generace UZV impulsu 10 až 100 mW/cm²,
 - vysoký dosažený odstup S/S,
 - malá akustická vazba mezi jednotlivými měniči,
 - krátký generovaný impuls ~ 2μs,
 - vysoká účinnost přenosu energie mezi měniči,
 - tlumení zpětné akustické vlny,
 - dosažení širokého úhlového krytí snímaného pole,
 - potlačení vibrací,
 - lehká, snadno manipulovatelná konstrukce,
- princip vstupní jednotky digitálního sonografu,

Zdroje ultrazvukového vlnění

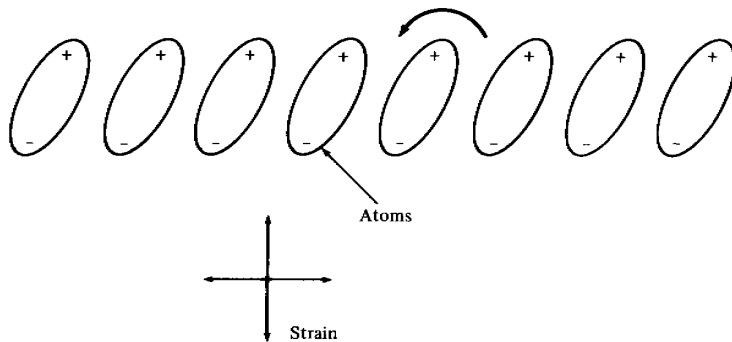
- zdrojem UZV vlnění UZV měnič v sondě,
- přímý a nepřímý piezoelektrický jev,
- charakteristickým parametrem sondy je rezonanční frekvence, určená tl. měniče,
- co nejkratší impuls při vysílání x velká citlivost,



Pressure Generation

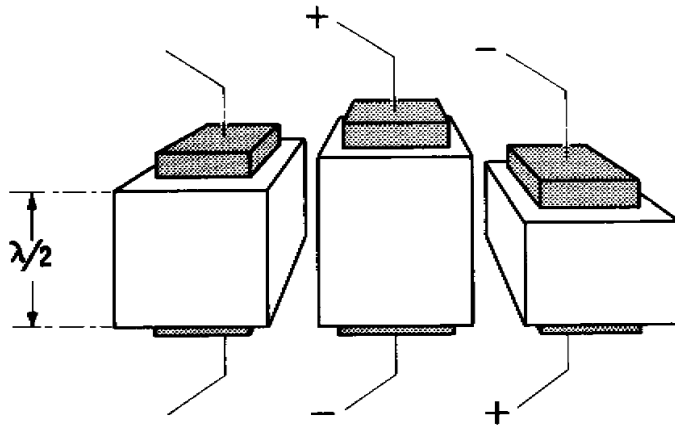
- Piezoelectric crystal
- ‘piezo’ means pressure, so piezoelectric means
 - pressure generated when electric field is applied
 - electric energy generated when pressure is applied

Charged Piezoelectric Molecules



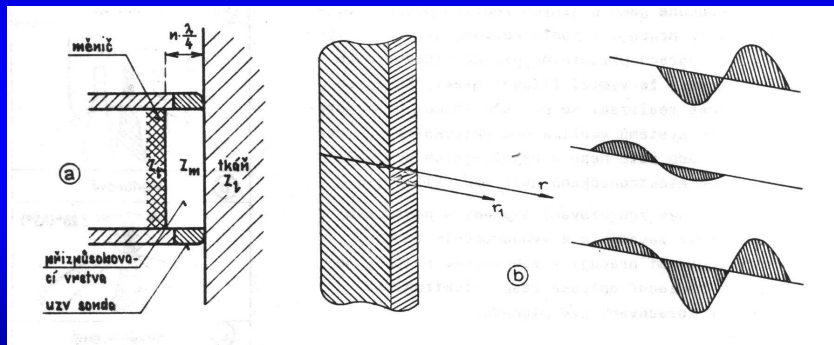
Highly simplified effect of E field

Piezoelectric Effect



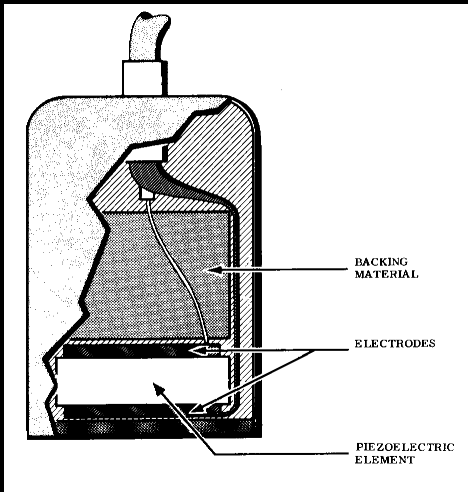
Zpracování UZV signálu

- přizpůsobení akustických impedancí

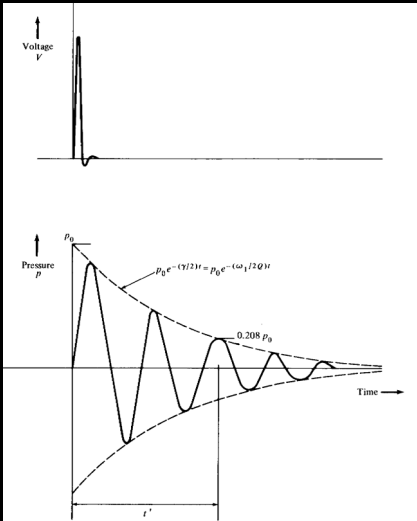




Transducer

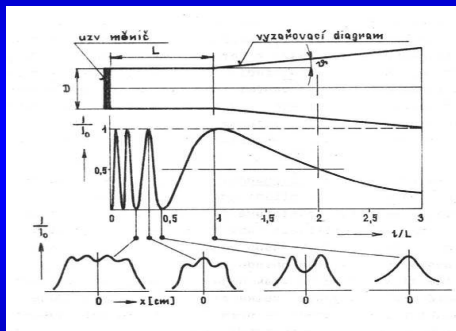


Pressure Radiated by Sharp Pulse



Zdroje ultrazvukového vlnění

- ultrazvukové pole,

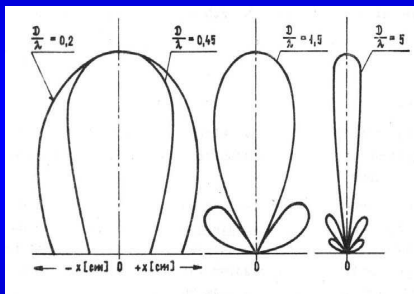


$$L = \frac{D^2 - \lambda^2}{4\lambda}$$

- blízké pole (blízká Fresnelova oblast),
- vzdálené pole (vzdálená Fraunhoferova oblast),

Zdroje ultrazvukového vlnění

- vyzařovací diagram sondy,



- Fraunhoferova formule,

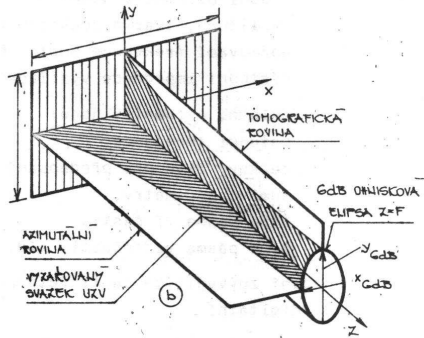
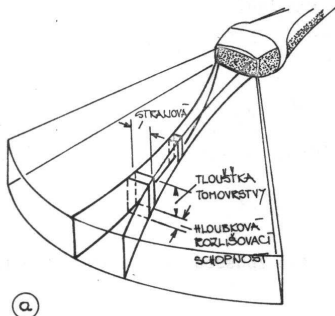
$$\sin \vartheta = 1,22 \frac{\lambda}{D}$$

$$\sin \vartheta = \frac{\lambda}{b}$$

- významnou úlohu sehrává poměr $\frac{D}{\lambda}$,

- postranní laloky - tlumení x akustická vazba,

Rozlišovací schopnost



Úvod

Akustika UZ

Vlnění

Vlnová rovnice

Odrاز a lom

Rozhraní

Útlum

Lékařský UZ

Přístroje

Kardiologický UZ

Intravaskulární UZ

Vady

Generování/detekce

Generování

Směrování

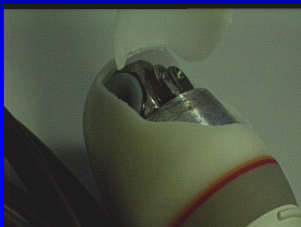
Fokusace

Řízení sonografu

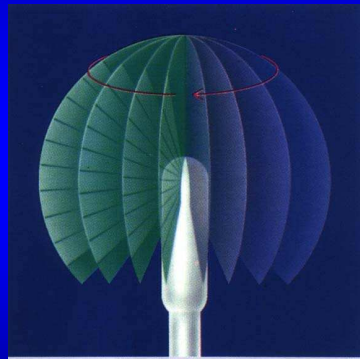
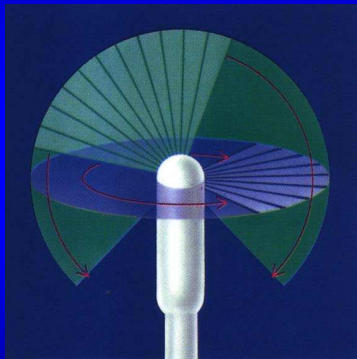
Zpracování UZV signálu

- vychylování UZV svazku - poziční jednotka
- mech. systémy s lineárním snímáním,
- mech. systémy se sektorovým snímáním,
 - rotační systém,
 - systém s kývající sondou,
- elektronické systémy s lineárním snímáním,
- elektronické systémy se sektorovým snímáním,
- fokuzace UZV svazku

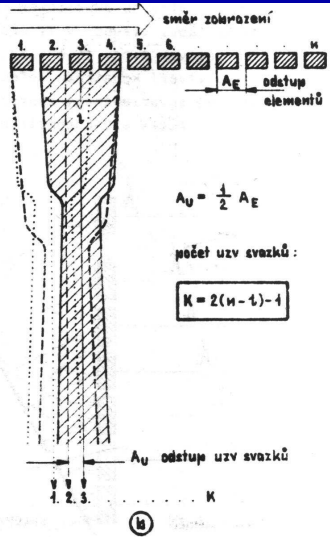
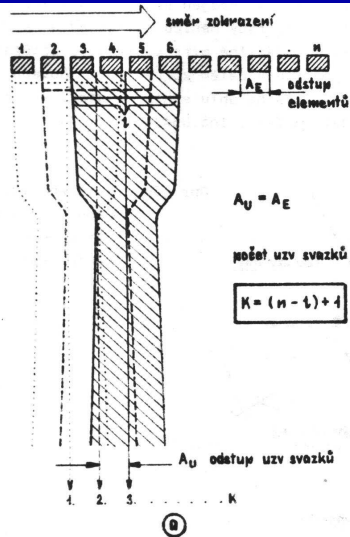
UZV sonda s mech. rozkladem - Siemens



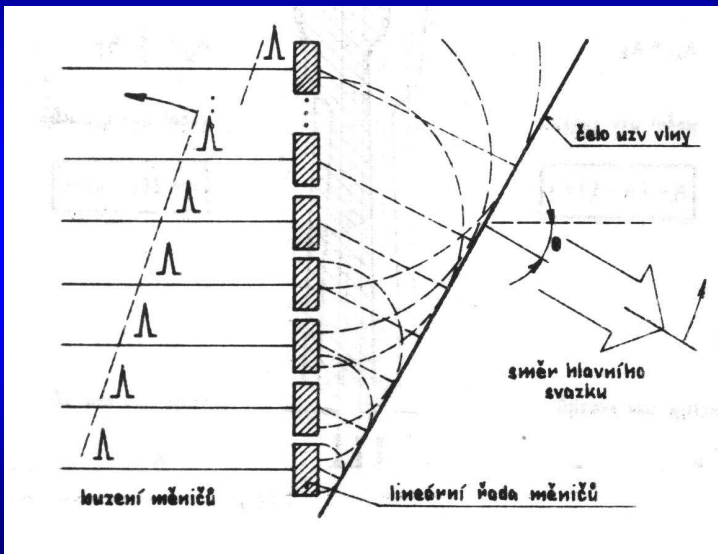
UZV sonda s mech. rozkladem - Siemens



El. systémy s lineárním snímáním



El. systémy se sektorovým snímáním



Úvod

Akustika UZ

Vlnění

Vlnová rovnice

Odrاز a lom

Rozhraní

Útlum

Lékařský UZ

Přístroje

Kardiologický UZ

Intravaskulární UZ

Vady

Generování/detekce

Generování

Směrování

Fokusace

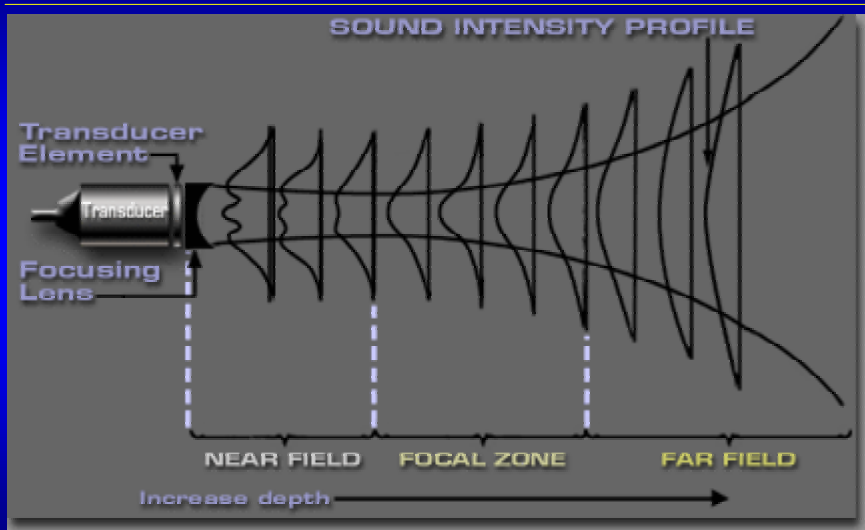
Řízení sonografu

Fokuzace svazku UZV signálu - typy

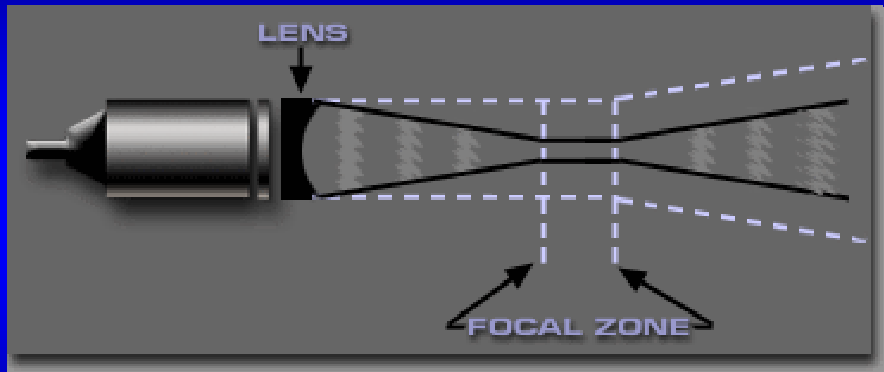
- fokuzace UZV čočkou,
- fokuzace zrcadly,
- elektronická fokuzace,
 - statická,
 - s lineární řadou měničů,
 - v režimu vysílání,
 - v režimu příjmu,
 - velikostí apertury,
 - elektronicko-optická,
 - s anulární sondou,
- dynamická,
 - v režimu vysílání,



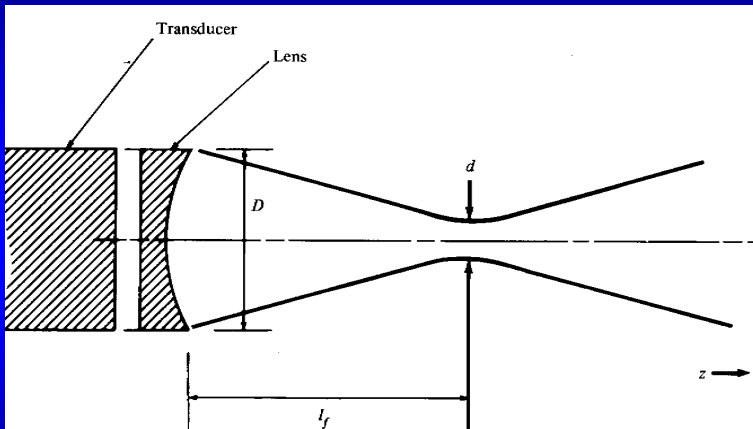
Fokuzace čočkou



Fokuzace čočkou



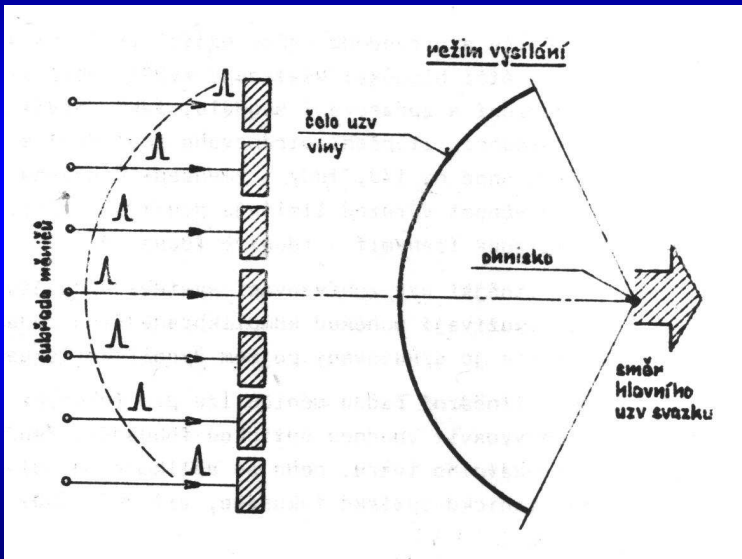
Fokuzace čočkou



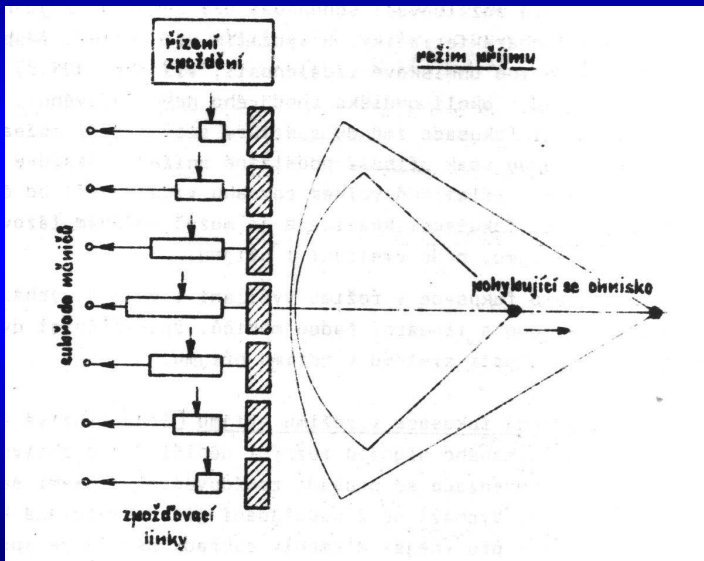
$$d = 2,44 \cdot \left(\frac{l_f}{D} \right) \cdot \lambda$$



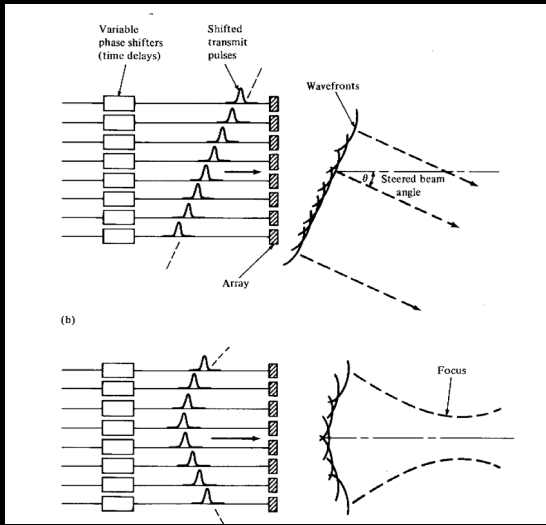
El. fok. stat. s lin. řad. měn. v r. vysílání



El. fok. stat. s lin. řad. měn. v r. příjmu

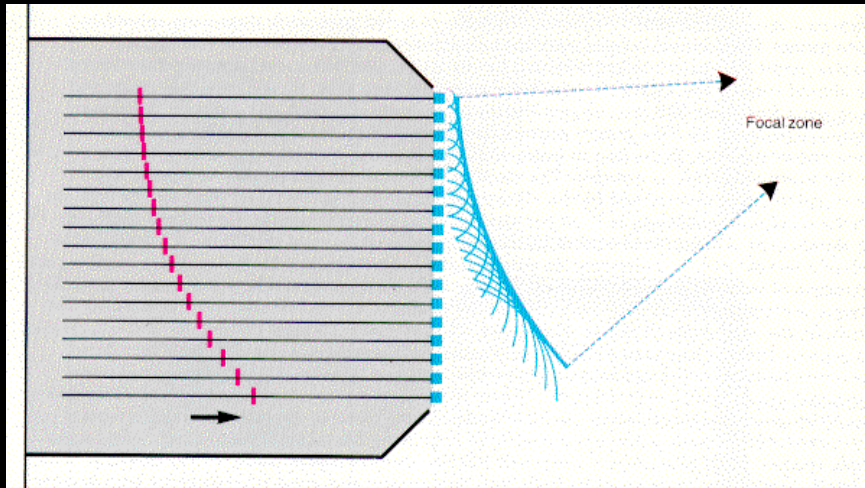


Phased Linear Array

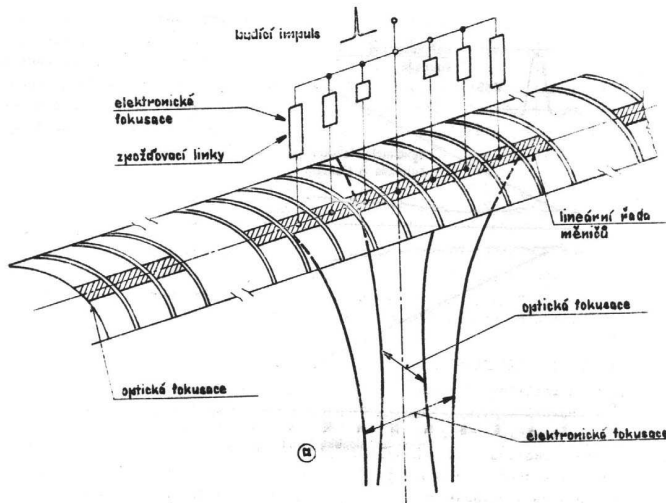




Beam Direction



El.-optická fok. stat. s lin. řad. měn.



Úvod

Akustika UZ

Vlnění

Vlnová rovnice

Odrاز a lom

Rozhraní

Útlum

Lékařský UZ

Přístroje

Kardiologický UZ

Intravaskulární UZ

Vady

Generování/detekce

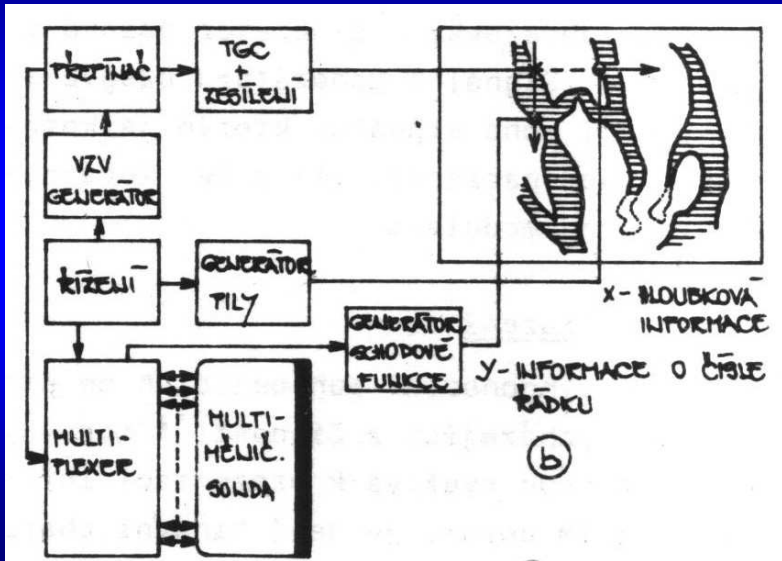
Generování

Směrování

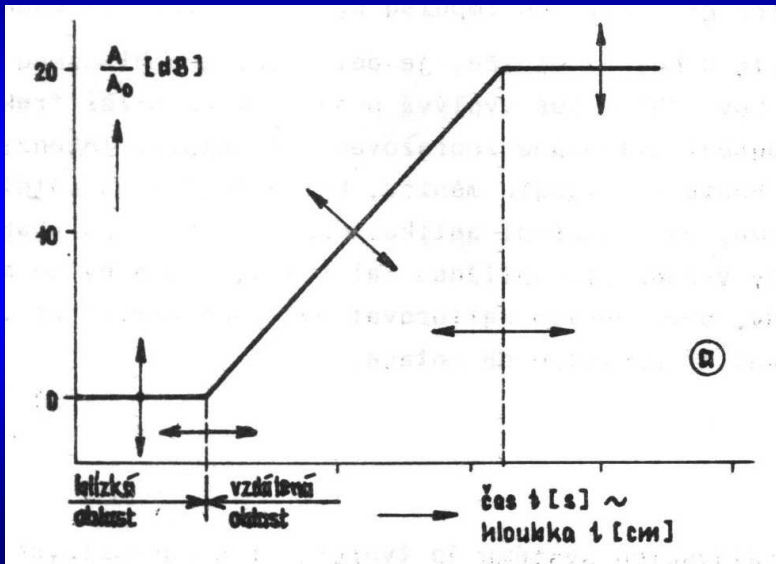
Fokusace

Řízení sonografu

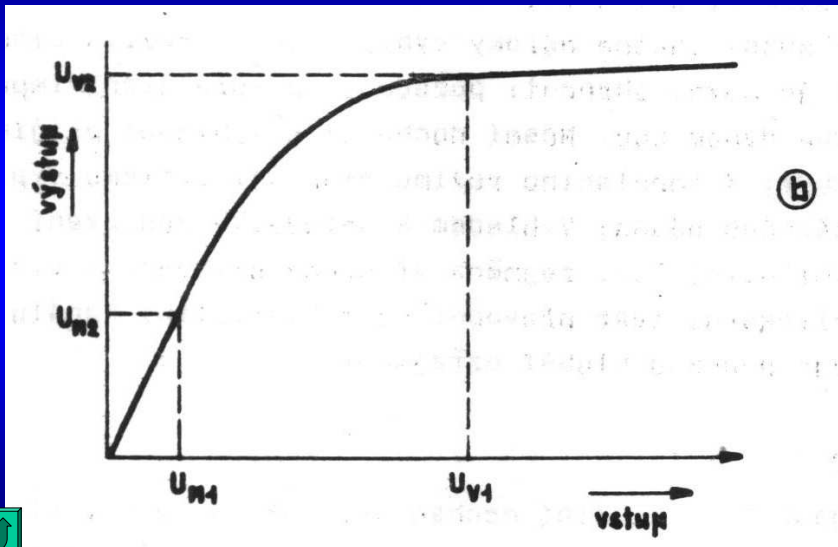
Zpracování elektrického sign. - B mód



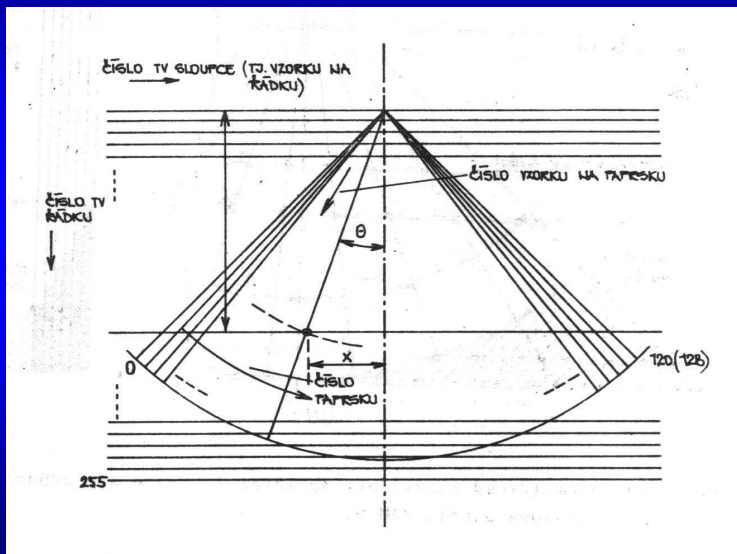
Zesilovače s časově řízeným zesílením



Amplitudově řízené zesilovače



Geom. vztah sekt. sním. a TV zobraž. rastru



Část II

Moderní UZ zobrazovací metody

Dopplerovský ultrazvuk

Kontrastní látky

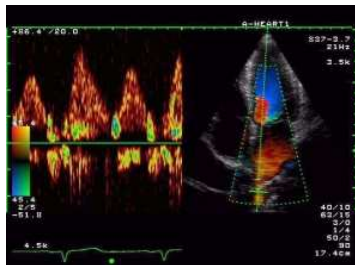
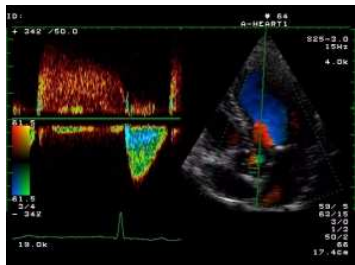
Harmonické zobrazování

3D UZ zobrazování

DOPPLEROVSKÁ ULTRASONOGRAFIE

(principy přístrojů CW, PW, CDI)

Ing. Jiří Hozman



Christian Andreas Doppler

(rakouský fyzik a matematik)

* 29.11.1803 Salzburg, Austria

† 17.3.1853 Venice, Italy



1835 - počátek pobytu v Praze

1842 - formulace Dopplerova principu

1845 - experimentální ověření

1847 - konec pobytu v Praze

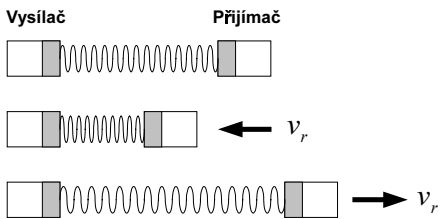
Červené krvinky - pohybující se přijímač
 - pohybující se zdroj

Uvažujme dva případy:

- 1. Stacionární zdroj a pohybující se přijímač**
- 2. Stacionární přijímač a pohybující se zdroj**

1. Stacionární zdroj a pohybující se přijímač

$$\lambda_s = \frac{c}{f_s}$$

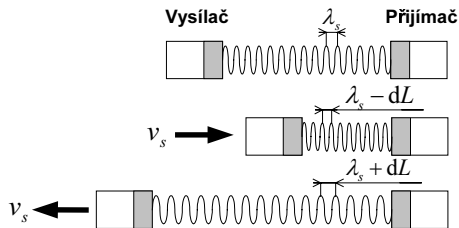


Dopplerova frekvence

$$f_r = f_s + \frac{v_r}{\lambda_s} = f_s + \left(\frac{v_r}{c} \right) f_s \quad f_D = \left(\frac{v_r}{c} \right) f_s$$

2. Stacionární přijímač a pohybující se zdroj

$$\lambda_s = \frac{c}{f_s}$$



$$dL = v_s \left(\frac{1}{f_s} \right)$$

$$\lambda_r = \lambda_s - dL = \frac{c}{f_s} - \frac{v_s}{f_s} = \frac{c}{f_r}$$

$$f_r = \frac{c}{c - v_s} f_s = \frac{1}{1 - \frac{v_s}{c}} f_s$$

Použitím rozvoje do Taylorovy řady

$$\frac{1}{1-x} = 1 + x + \frac{x^2}{2} + \dots$$

Všechny členy s x^2 a vyšší mocninou zanedbáme a protože $v/c \ll 1$ můžeme psát

$$f_r = \left(1 + \frac{v_s}{c}\right) f_s \quad \text{Dopplerova frekvence} \quad f_D = \left(\frac{v_s}{c}\right) f_s$$

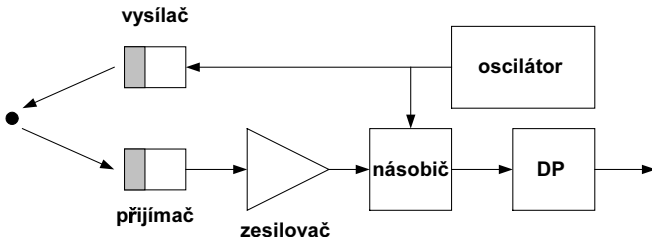
Měření rychlosti toku krve

- Dopplerův princip: Frekvence vlnění se mění, pohybuje-li si zdroj vůči pozorovateli.
- Odraz UZ od červených krvinek
- Červené krvinky
 - pohybující se přijímač
 - pohybující se vysílač
- Dopplerův posun

$$f_r = f_t + f_d \quad f_d \approx 2 \frac{v}{c} f_c$$

- Měříme jen složku rychlosti podél paprsku.

Demodulace Dopplerova signálu



vysílaný signál

$$E \cos(\omega_c t)$$

přijatý signál

$$V_i = A \cos(\omega_c t + \Phi) + B \cos(\omega_c + \omega_D) t$$

Výsledkem násobení v demodulátoru je

$$V_A = AE \cos(\omega_c t + \Phi) \cos(\omega_c t) + BE \cos(\omega_c + \omega_D) t \cos(\omega_c t)$$

$$= \left(\frac{AE}{2} \right) \boxed{\cos(2\omega_c t + \Phi)} + \boxed{\cos(\Phi)} + \left(\frac{BE}{2} \right) \boxed{\cos(2\omega_c t + \omega_D t)} + \boxed{\cos(\omega_D t)}$$

Jednotlivé složky ve výše uvedeném vztahu znamenají:

- | | |
|--|---|
| $\boxed{\cos(2\omega_c t + \Phi)}$ | dvojnásobek vysílané frekvence (DP)
<small>potlačení</small> |
| $\boxed{\cos(2\omega_c t + \omega_D t)}$ | dvojnásobek vysílané frekvence (DP)
<small>potlačení</small> |
| $\boxed{\cos(\Phi)}$ | stejnosměrná složka (HP)
<small>potlačení</small> |
| $\boxed{\cos(\omega_D t) = \cos(-\omega_D t)}$ | Dopplerův signál, nelze určit směr |



Směrové demodulační systémy

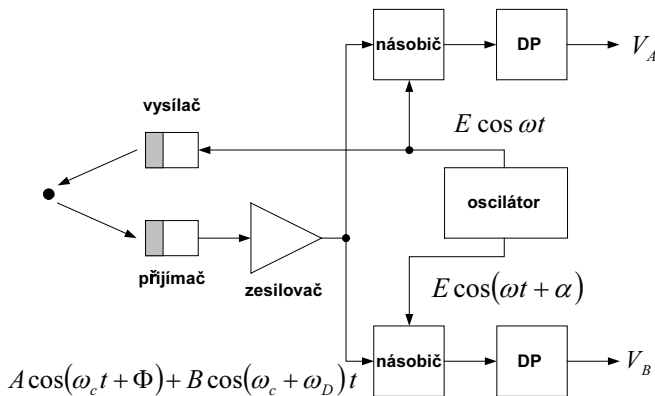
Základní myšlenka

Převést směrovou informaci, danou znaménkem frekvenčního posuvu na jiný indikátor směru, který by po demodulaci zůstal zachován

Příklad

Pro vysílanou frekvenci 5 MHz a frekvenci Dopplerova signálu 5,8 kHz musíme odlišit kladný směr toku krve, tj. 5,0058 MHz a záporný směr toku krve, tj. 4,9942 MHz.

Základní uspořádání směrového demodulátoru



Fázové zpracování kvadraturních signálů V_A a V_B

$$V_A = \frac{1}{2}BE \cos(\omega_D t) \quad V_B = \frac{1}{2}BE \cos(\omega_D t - \alpha)$$

fázový posuv $\alpha = \pi/2 \rightarrow \sin$ a $\cos \rightarrow$ kvadraturní signály

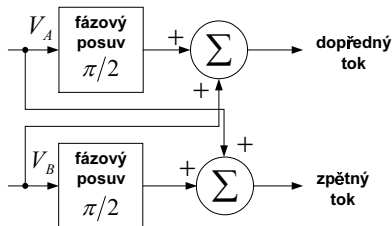
Pokud zanedbáme amplitudy, pak dostaneme

$$V_A = \cos \omega_D t \quad V_B = -\sin \omega_D t$$

forward flow (dopředný tok) - od sondy, tj. $\omega_f = -\omega_D$

reverse flow (zpětný tok) - k sondě, tj. $\omega_r = \omega_D$

$$V_A = \cos \omega_f t + \cos \omega_r t \quad V_B = \sin \omega_f t - \sin \omega_r t$$



$$\cos \omega_f t + \cos \omega_r t \quad 0 \rightarrow \cos \omega_f t + \cos \omega_r t \quad (1)$$

$$\qquad\qquad\qquad \pi/2 \rightarrow \sin \omega_f t + \sin \omega_r t \quad (2)$$

$$\sin \omega_f t - \sin \omega_r t \quad 0 \rightarrow \sin \omega_f t - \sin \omega_r t \quad (3)$$

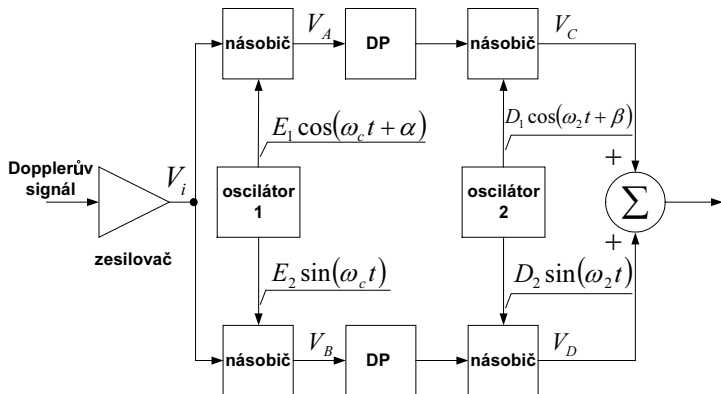
$$\qquad\qquad\qquad \pi/2 \rightarrow -\cos \omega_f t + \cos \omega_r t \quad (4)$$

$$(2) + (3) = \sin \omega_f t$$

$$(1) + (4) = \cos \omega_r t$$



Úplný systém k separaci signálové složky odpovídající dopřednému a zpětnému toku ve frekvenční oblasti



Hlavní myšlenka - posun nulové frekvence, tj. nulové rychlosti na jinou frekvenci ω ,

α a β představují chybu ve fázovém rozdílu

$$V_A = \frac{1}{2} BE_1 \cos(\omega_D t - \alpha) \quad V_B = -\frac{1}{2} BE_2 \sin(\omega_D t)$$

$$V_C = (BE_1D_1/2)\cos(\omega_D t - \alpha)\cos(\omega_2 t + \beta)$$

$$V_C = \frac{1}{4} B E_1 D_1 [\cos(\omega_D t + \omega_2 t - \alpha + \beta) + \cos(\omega_D t - \omega_2 t - \alpha - \beta)]$$

Kontinuální Dopplerovské systémy CW

- kontinuální vysílání i příjem,
- v sondě dva piezo-elementy,
- vzorkovací objem dán šířkou UZ svazku,
- možnost detekovat velké rychlosti průtoku,
- nerozliší hloubku - množství spektrálních složek.



Pulzní Dopplerovské systémy PW (Pulsed Wave)

- pulzní vysílání i příjem,
 - v sondě jeden piezo-element,
 - vzorkovací objem dán délkou pulzu,
 - omezení rozsahu detekovaných rychlostí průtoku,
 - rozliší hloubku - méně spektrálních složek.



Omezení rozsahu detekovaných rychlosí průtoku u PW

$$\Phi = f_c T_D \quad \frac{d\Phi}{dt} = f_c \frac{T_D}{dt} \quad T_D = \frac{2z}{c}$$

$$\frac{dT_D}{dt} = \frac{2}{c} \frac{dz}{dt} = \frac{2v}{c} \quad f_D = \frac{d\Phi}{dt} = f_c \frac{T_D}{dt} = f_c \frac{2v}{c}$$

$$T_p = \frac{1}{f_p} \quad f_{D_{max}} = \frac{1}{2T_p} = \frac{2v_{max}}{c} f_c$$

dáno
 $f_{Nyquist}$

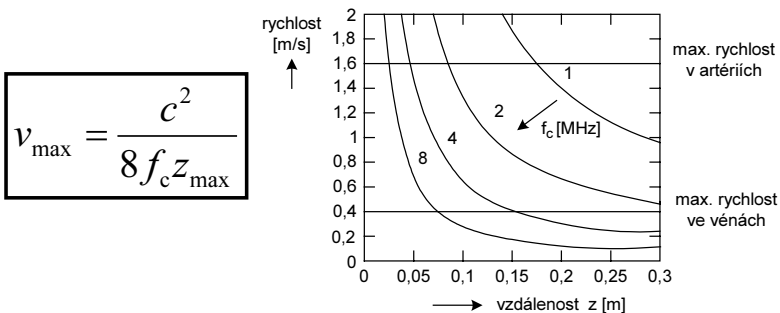
$$z_{max} = \frac{c}{2} T_p \quad T_p = \frac{c}{4v_{max} f_c} = \frac{2z_{max}}{c} \quad v_{max} z_{max} = \frac{c^2}{8f_c}$$

Typický příklad

$$f_c = 2 \text{ MHz} \quad c = 1500 \text{ ms}^{-1} \quad v_{\max} z_{\max} = 0,14 \text{ m}^2 \text{ s}^{-1}$$

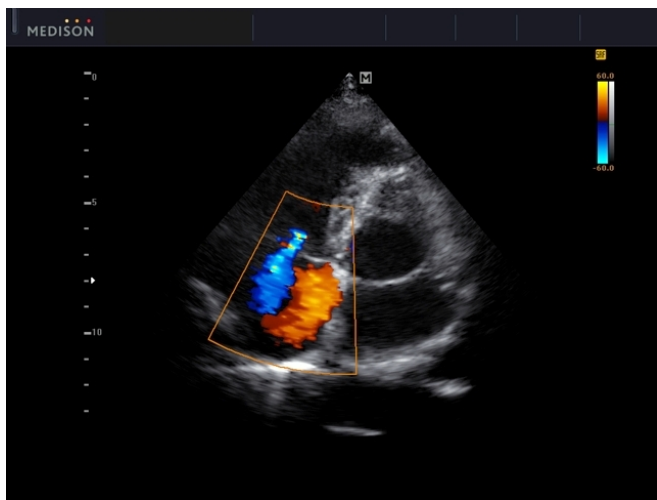
Ve vzdálenosti 10cm můžeme naměřit maximální rychlosť

$$1,4 \text{ ms}^{-1}$$

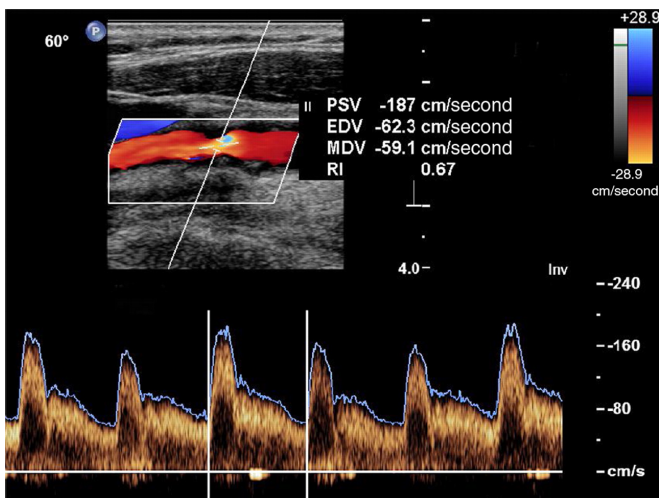


$$v_{\max} = \frac{c^2}{8 f_c z_{\max}}$$

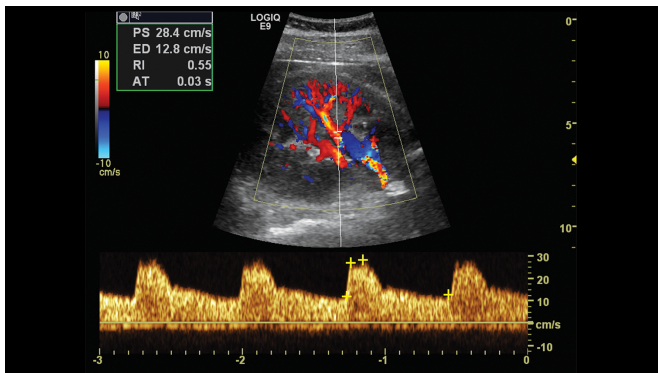
Doppler UZ — příklady



Doppler UZ — příklady



Doppler UZ — příklady



Dopplerovský ultrazvuk

Kontrastní látky

Harmonické zobrazování

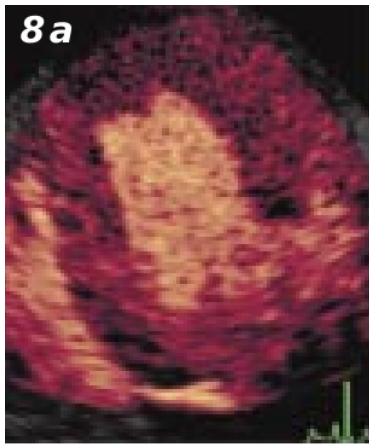
3D UZ zobrazování

Kontrastní látky

- 1968, Gramiak, injekce solného roztoku
- Mikrobubliny ($2 \sim 5 \mu\text{m}$)
- Asymetrické stlačování/roztahování
- Stabilizace proti rozpadu, až 5 min.
- Injekční podání.
- Albunex, Optison, Echovist, Levovist. . .

Flash Contrast Imaging

Bubliny destabilizujeme ultrazvukem.



normální

Flash Contrast Imaging

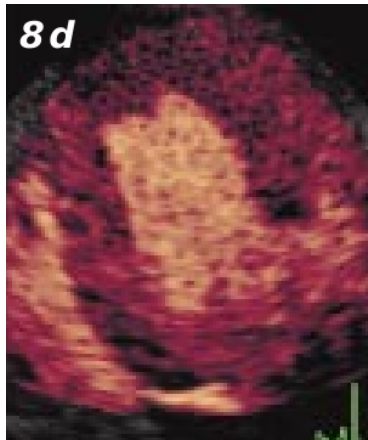
Bubliny destabilizujeme ultrazvukem.



flash, rozbití bublin

Flash Contrast Imaging

Bubliny destabilizujeme ultrazvukem.



postupné naplňování

Vyhodnocení perfuze myokardu.

Dopplerovský ultrazvuk

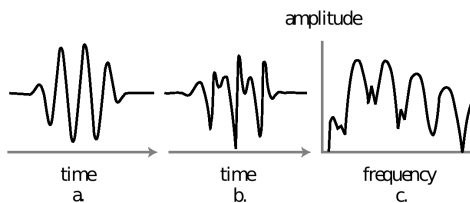
Kontrastní látky

Harmonické zobrazování

3D UZ zobrazování

Nelineární odezva

Asymetrické stlačování bublin

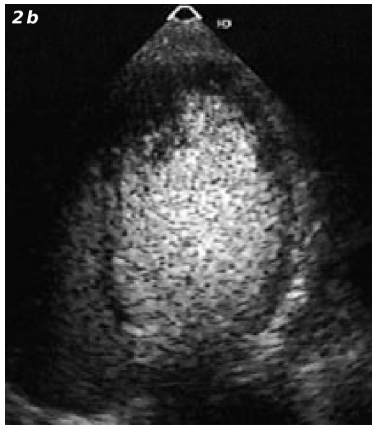


Harmonické zobrazování

- Vysíláme f_0 , přijímáme $2f_0$



standardní obraz



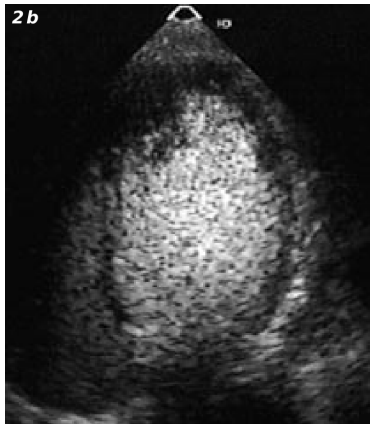
2. harmonická

Harmonické zobrazování

- Vysíláme f_0 , přijímáme $2f_0$
- Omezení šířky pásma



standardní obraz



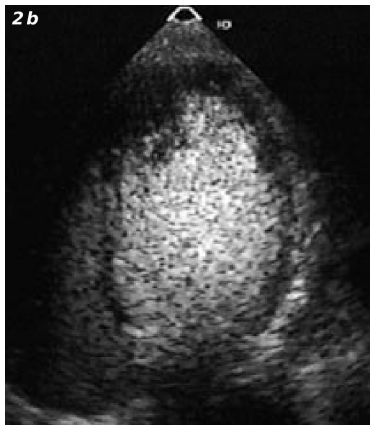
2. harmonická

Harmonické zobrazování

- Vysíláme f_0 , přijímáme $2f_0$
- Omezení šířky pásma
- Bubliny nejsou nutné, tkáně též nelineární



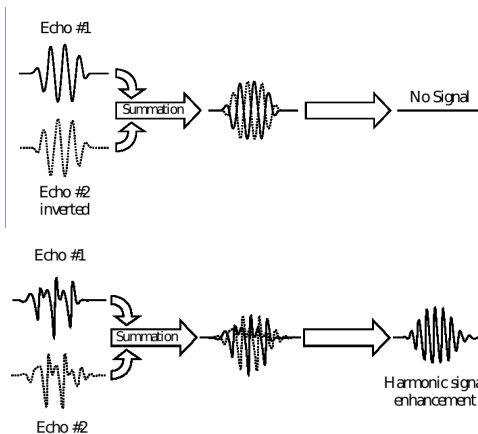
standardní obraz



2. harmonická

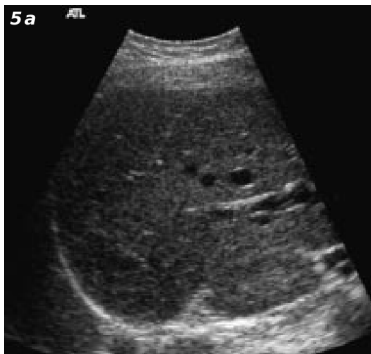
Pulse Inversion Harmonic Imaging

- Dva pulzy, druhý invertovaný
- Odezvy jsou sečteny.
- Není nutná filtrace.

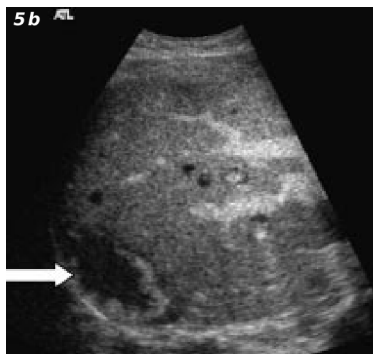


Pulse Inversion Harmonic Imaging

- Dva pulzy, druhý invertovaný
- Odezvy jsou sečteny.
- Není nutná filtrace.



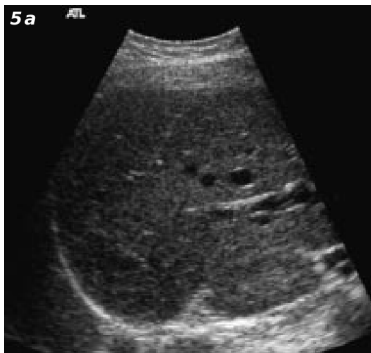
standardní obraz (játra)



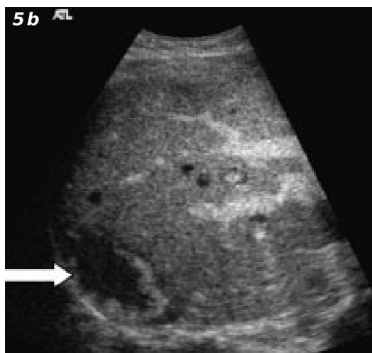
pulse inversion

Pulse Inversion Harmonic Imaging

- Dva pulzy, druhý invertovaný
- Odezvy jsou sečteny.
- Není nutná filtrace.
- Více pulzů (Power Pulse Inversion)



standardní obraz (játra)



pulse inversion

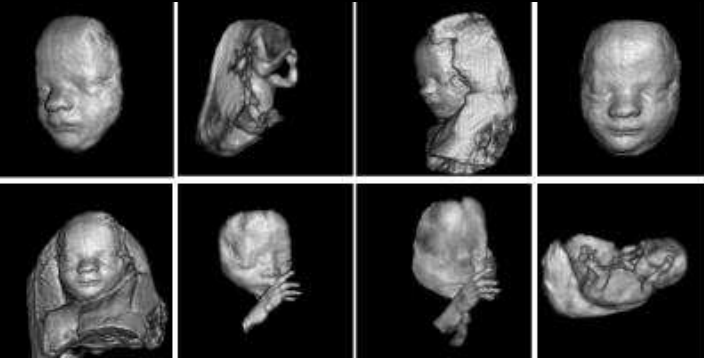
Dopplerovský ultrazvuk

Kontrastní látky

Harmonické zobrazování

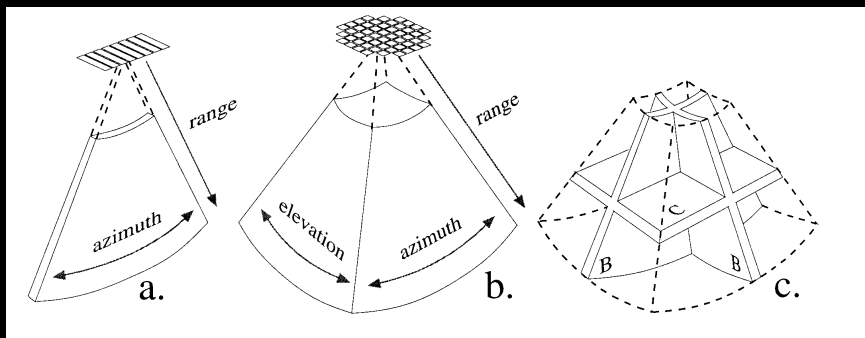
3D UZ zobrazování

3D Reconstruction





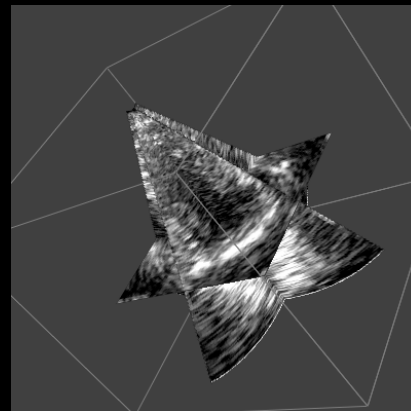
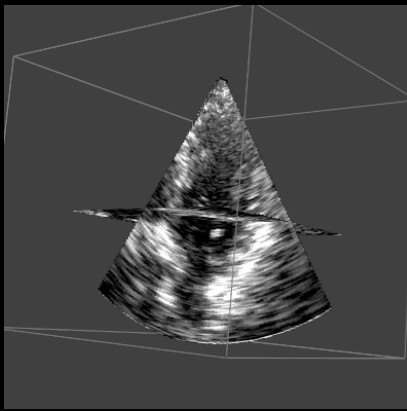
3D Ultrasound

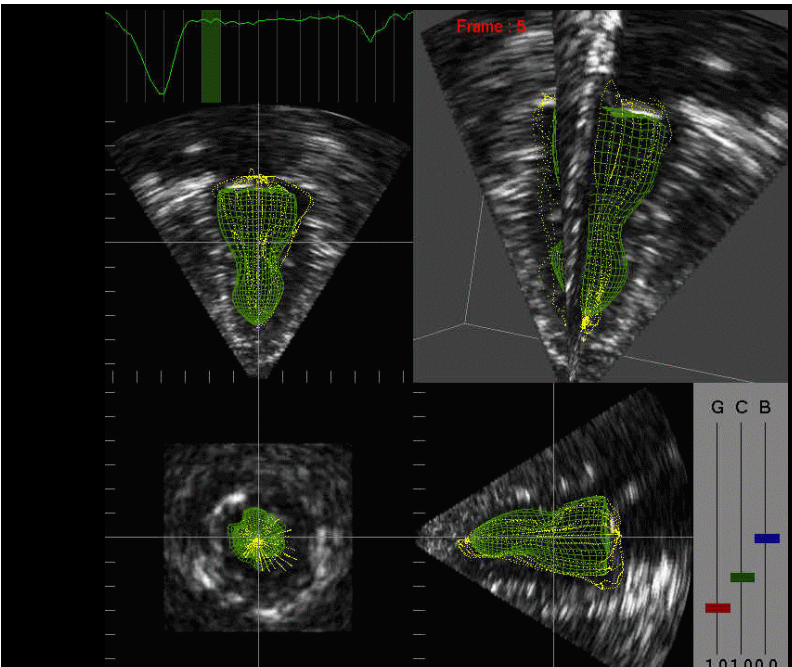


Traditional 2D

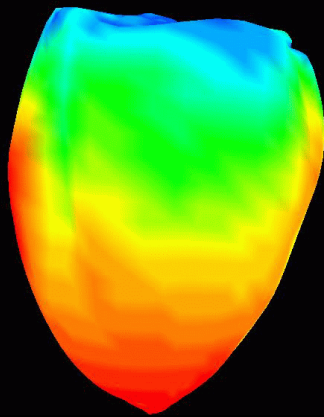
New 3D

Real-time 3D Ultrasound

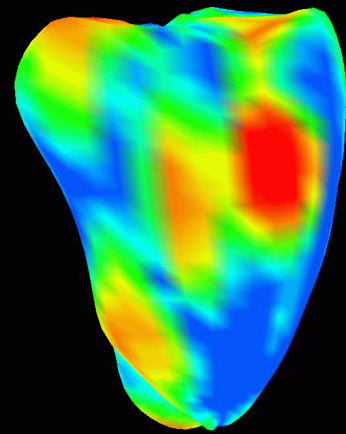




Velocity of Contraction



Normal



Abnormal

Závěr

- Neinvazivní, dostupná a přenosná zobrazovací technika
- Výborné zobrazení měkkých tkání
- Kvalita obrázků nižší (speckle) ale zlepšuje se
- Malá hloubka penetrace versus rozlišení
- Neprochází plynným prostředím
- Stíny od kostí a jiných tkání
- Moderní techniky — 3D, kontrastní látky, Doppler